

Докторант С. Алтайулы, профессор С. Т. Антипов,  
(Воронеж. гос. ун-т. инж. технол) кафедра машин и аппаратов пищевых производств,  
тел. (473) 255-38-96

доцент И.О. Павлов  
(Воронеж. гос. ун-т инж. технол.) кафедра информационных технологий  
моделирования и управления, тел. (473) 255-25-50

## Нестационарный массообмен в вакуумном ротационно-пленочном аппарате при влагоудалении из фосфолипидных эмульсий

Рассмотрен вопрос создания компьютерной модели, предназначенной для исследования нестационарного массообменного процесса при влагоудалении из фосфолипидной эмульсии подсолнечных масел в вакуумном цилиндрическом ротационно-пленочном аппарате. Математическая модель реализована на основе метода конечных элементов в системе Maple.

The question of creating a computer model designed for the investigation of unsteady mass transfer processes in the dripping of the phospholipid emulsion of sunflower oil in a vacuum cylindrical rotary-film apparatus. The implementation of the mathematical model performance using the finite element method in the Maple.

*Ключевые слова:* математическое моделирование, метод конечных элементов, тепломассообмен, фосфолипидные эмульсии, ротационно-пленочный аппарат.

Для проведения процесса влагоудаления из фосфолипидных эмульсий растительных масел применяются ротационно-пленочные аппараты, в которых врачающийся ротор распределяет жидкость тонким слоем в зазоре между лопастями ротора и внутренней цилиндрической поверхностью аппарата. Постепенно перемещаясь в осевом направлении пленка обезвоживается, и по достижении конечного влагосодержания готовый продукт выводится из аппарата через выходной патрубок [1].

Преимуществом тонкого кольцевого слоя при влагоудалении в ротационно-пленочных аппаратах под вакуумом является малое время пребывания высоковязких жидких пищевых термолабильных продуктов в зоне нагрева, что особенно важно для много-компонентных веществ. На рабочем нагреваемом участке температура внутренней поверхности стенки корпуса аппарата поддерживается постоянной при помощи греющего пара.

Интенсификация процесса тепломассообмена возможна при всестороннем изучении гидродинамики, закономерностей кинетики реальных процессов с опорой на исследование соответствующих дифференциальных уравнений переноса импульса, теплоты и массы в контактирующих фазах.

Процесс влагоудаления из фосфолипидных эмульсий растительных масел в ротационно-пленочном аппарате осуществляется молекуллярной диффузией согласно второму закону Фика, выраженному в виде дифференциального уравнения массопроводности [2, 3], которое будем использовать для интенсификации процесса влагоудаления.

Нагреваемый участок аппарата можно представить в виде тонкослойной кольцевой фигуры радиусом  $R$ , длиной  $L$  и толщиной  $\delta = R - R_c$ . Температура внутренней стенки корпуса аппарата на этом участке нагрева поддерживается постоянной и на поверхности пленки происходит испарение под вакуумом.

Выбираем цилиндрическую систему координат, при этом ось  $z'$  совпадает с осью орошаемого тонкопленочного врачающегося кольцевого слоя в ротационно-пленочном аппарате ( $z' = 0$  соответствует положению обрабатываемого продукта в начале рабочего нагреваемого участка).

Уравнение массопроводности для нестационарного процесса массопереноса в цилиндрической системе координат  $(z', r')$  имеет следующий вид:

$$\frac{dc}{dt} = D_m \left( \frac{1}{r'} \frac{\partial}{\partial r'} \left( r' \frac{\partial c}{\partial r'} \right) + \frac{\partial^2 c}{\partial z'^2} \right) + W(t), \quad (1)$$

$$z' \in [0, L], r' \in [R_c, R], t \in [0, t_k],$$

где  $D_m$  – коэффициент массопроводности;  $W(t)$  – внутренний источник (сток) распределяемого вещества в единицу времени;  $dc/dt$  – полная производная концентрации по времени

$$\frac{dc}{dt} = \frac{\partial c}{\partial t} + v_r \frac{\partial c}{\partial r'} + v_z \frac{\partial c}{\partial z'}, \quad (2)$$

где  $v_r, v_z$  – компоненты вектора скорости в направлении осей  $r'$  и  $z'$ , которые могут быть определены из уравнений Навье - Стокса;  $t_k$  – время протекания процесса.

Для решения уравнения (2) необходимо задать начальное условие

$$t = 0, c = c_0(z', r', 0),$$

а также граничные условия первого, второго и третьего рода.

**Граничные условия первого рода.** Задается распределение концентрации вещества у поверхности тела  $c_{\Pi}(t)$

$$c(z', r', t)|_{S_1} = c_{\Pi}(t),$$

например, на поверхности  $S_1$  (рис. 1) задана постоянная концентрация  $c_0 = \text{const}$ :

$$c(z', r', t)|_{S_1} = c_0.$$

**Граничные условия второго рода.** В этом случае задаются значения теплового потока  $q$  на некоторой поверхности и любого момента времени

$$-D_m \rho \left( \frac{\partial c}{\partial n} \right)_{\bar{i}} + q_m = 0, \quad (3)$$

где  $\frac{\partial c}{\partial n} = \frac{\partial c}{\partial r'} l_r + \frac{\partial c}{\partial z'} l_z$  – производная от концентрации по нормали  $n$  около поверхности тела;  $l_r, l_z$  – направляющие косинусы единичного нормального вектора к поверхности тела;  $\rho$  – плотность распределяемого вещества. Условие (3) используется для задания условия непроницаемости на границе  $S_4$ :

$$\left. \frac{\partial c}{\partial r'} \right|_{S_4=0} = 0. \quad (4)$$

**Граничные условия третьего рода.** Задается концентрация распределяемого вещества в аппарате. Для описания процесса поверхностного массообмена применяется закон Дальтона или другой экспериментально установленный

закон (например, закон Нернста, Щукарева и др.) [4]. Граничное условие третьего рода, заданное на поверхности  $S_2$ , можно записать в следующем виде:

$$-D_m \left( \frac{\partial c}{\partial n} \right)_{\Pi} + \beta(c_{\Pi} - c_{\infty}) = 0, \quad (5)$$

где  $\beta$  – коэффициент массоотдачи (характеризует интенсивность массообмена между поверхностью тела и окружающей средой).

Введем новые переменные

$$C = c/c_0, z = z'/L_{\infty}, r = r'/L_{\infty}, \tau = t/t_k \quad (6)$$

и учитывая, что внутренний источник отсутствует  $W(t) = 0$ , получим уравнение (1) в безразмерном виде

$$\frac{dC}{d\tau} = K_1 \left( \frac{1}{r} \frac{\partial}{\partial r} \left( r \frac{\partial C}{\partial r} \right) + \frac{\partial^2 C}{\partial z^2} \right), \quad (7)$$

$$z \in [0, z_k], r \in [r_c, 1], \tau \in [0, 1],$$

с начальным условием

$$C(z, r, 0) = 1 \quad (8)$$

и граничными условиями

$$C(z, r, \tau)|_{z=0} = 1 \quad (9)$$

$$\left. -\frac{\partial C}{\partial r} \right|_{r=1} = K_{i_m}; \quad (10)$$

$$\left. -\frac{\partial C}{\partial r} \right|_{r=r_c} = B_{i_m}(C|_{r=r_c} - C_{\infty}), \quad (11)$$

где  $K_1 = 1 / (\text{Re} \cdot \text{Sc})$  – комплексный критерий;  $\text{Re} = V_{\infty} L / v$  – число Рейнольдса;  $\text{Sc} = v / D_m$  – число Шмидта;  $B_{i_m} = \beta L_{\infty} / D_m$  – критерий Био (массообменный);  $K_{i_m} = q_v(t) L_{\infty} / (D_m \rho c_0)$  – критерий Кирпичева (массообменный);  $Q(\tau) = W(t) t_k / c_0$  – источник (сток) массы в безразмерном виде;  $v$  – коэффициент кинематической вязкости;  $C_{\infty} = c_{\infty} / c_0$ . Полная производная концентрации по времени определяется соотношением

$$\frac{dC}{d\tau} = \frac{\partial C}{\partial \tau} + u_r \frac{\partial C}{\partial z} + u_z \frac{\partial C}{\partial z}, \quad (12)$$

где  $u_r = v_r / v_{\infty}, u_z = v_z / v_{\infty}$ ;  $L_{\infty}, v_{\infty}$  – масштабная длина области и базовая скорость системы. За масштабную длину удобно принять наружный радиус пленки  $L_{\infty} = R$ , тогда  $r_c = R_c / R, z_k = L / R, v_{\infty} = L / t_k$ .

Дифференциальное уравнение массопроводности (7)-(12) будем решать методом конечных элементов (МКЭ) [5, 6, 7, 8, 9], который основан на идее аппроксимации непрерывной функции (в данном случае – концентрации) дискретной моделью, строящейся на

множестве кусочно-непрерывных функций, определенных на конечном числе подобластей, называемых элементами [7].

Решение дифференциального уравнения теплопроводности (3) с граничными условиями (4)...(9) заменим другой задачей – найти распределение концентрации  $C(z, r)$ , которое минимизирует следующий функционал:

$$J = \int_V \frac{1}{2} \left[ K_1 \left( \left( \frac{\partial C}{\partial r} \right)^2 + \left( \frac{\partial C}{\partial z} \right)^2 \right) + 2C \left( \frac{dC}{d\tau} \right) \right] r dV + \\ + K_{im} \int_{S_2} r C dS + \frac{Bi_m}{2} \int_{S_3} r (C - C_\infty)^2 dS, \quad (13)$$

где  $V$  – объем исследуемой области;  $S$  – площадь поверхности.

Введем матрицы

$$[g]^T = [\partial \tilde{C} / \partial r \ \partial \tilde{C} / \partial z] \text{ и } [D] = \begin{bmatrix} rK_1 & 0 \\ 0 & rK_1 \end{bmatrix}. \quad (14)$$

С учетом (14) функционал (13) принимает вид

$$J = \int_V \frac{1}{2} [g]^T [D] [g] dV + \int_V C \left( \frac{dC}{d\tau} \right) r dV + \\ + K_{im} \int_{S_2} r C dS + \frac{Bi_m}{2} \int_{S_3} r (C - C_\infty)^2 dS. \quad (15)$$

Вся область разбивается на  $NE$  число конечных элементов, тогда функционал (15) можно представить в следующем виде:

$$J = \sum_{e=1}^{NE} J^{(e)}, \quad (16)$$

где  $J^{(e)}$  – функционал, записанный для конечного  $e$ -элемента, выражение которого имеет такой же вид, как и для функционала (15):

$$J^{(e)} = \sum_{e=1}^{NE} \int_V \frac{1}{2} [g^{(e)}]^T [D^{(e)}] [g^{(e)}] dV - \int_V C^{(e)} \frac{dC^{(e)}}{d\tau} r dV + \\ + K_{im} \int_{S_4} C^{(e)} dS + \frac{Bi_m}{2} \int_{S_2} r (C^{(e)} - C_\infty)^2 dS, \quad (17)$$

где  $C^{(e)}$  – концентрация в  $e$ -м конечном элементе.

Условие минимума функционала (17) требует выполнения соотношения

$$\frac{\partial J}{\partial \{\tilde{C}\}^T} = \frac{\partial}{\partial \{\tilde{C}\}^T} \sum_{e=1}^{NE} J^{(e)} = \sum_{e=1}^{NE} \frac{\partial J^{(e)}}{\partial \{\tilde{C}\}^T} = 0. \quad (18)$$

Частные производные  $\partial J^{(e)} / \partial \{\tilde{C}\}$  в (18) не могут быть вычислены пока интегралы в (17) не будут выражены через узловые значения концентрации распределяемого вещества  $\{\tilde{C}\}$ .

Учитывая соотношение интерполяционного полинома, записанного через функции формы

$$C^{(e)} = [N^{(e)}] \{\tilde{C}\} = [N_1^{(e)}, N_2^{(e)} \dots N_p^{(e)}] \begin{Bmatrix} \tilde{C}_1 \\ \tilde{C}_2 \\ \vdots \\ \tilde{C}_p \end{Bmatrix}, \quad (19)$$

где  $p$  – число узлов элемента, можно вычислить величину  $[g^{(e)}]$  (17):

$$[g^{(e)}] = |B^{(e)}| \{\tilde{C}\}, \quad (20)$$

где  $|B^{(e)}|$  содержит информацию, связанную с производными от функций формы

$$|B^{(e)}| = \begin{bmatrix} \partial N_1^{(e)} / \partial r & \partial N_2^{(e)} / \partial r & \dots & \partial N_p^{(e)} / \partial r \\ \partial N_1^{(e)} / \partial z & \partial N_2^{(e)} / \partial z & \dots & \partial N_p^{(e)} / \partial z \end{bmatrix}.$$

Использование формул (19) и (20) позволяет записать интегралы по элементам в выражении функционала (17):

$$J^{(e)} = \int_V \frac{1}{2} \{\tilde{C}\}^T [B^{(e)}]^T [D^{(e)}] [B^{(e)}] \{\tilde{C}\} dV + \\ + \int_V C^{(e)} \left( \frac{\partial C^{(e)}}{\partial \tau} + u_r \frac{\partial C^{(e)}}{\partial r} + u_z \frac{\partial C^{(e)}}{\partial z} \right) r dV + \\ + \int_{S_2} K_{im} [N^{(e)}] \{\tilde{C}\} r dS + \\ + \int_{S_3} \frac{Bi_m}{2} \{\tilde{C}\}^T [N^{(e)}]^T [N^{(e)}] \{\tilde{C}\} r dS - \\ - \int_{S_3} Bi_m C_\infty \{\tilde{C}\} r dS + \int_{S_3} \frac{Bi_m}{2} C_\infty^2 r dS. \quad (21)$$

Из условия минимального значения для функционала (21) получим систему линейных дифференциальных уравнений вида

$$\left[ m^{(e)} \right] \left[ \frac{\partial \tilde{C}}{\partial \tau} \right] + \left[ k^{(e)} \right] \{\tilde{C}\} = \{p^{(e)}\}, \quad (22)$$

$$\text{где } \left[ m^{(e)} \right] = \int_{V^{(e)}} r ([N]^T [N]) dV;$$

$$\left[ k^{(e)} \right] = [k_1^{(e)}] + [k_2^{(e)}] + [k_3^{(e)}];$$

$$[k_1^{(e)}] = \int_{V^{(e)}} [B^{(e)}]^T [D^{(e)}] [B^{(e)}] \{\tilde{C}\} dV;$$

$$[k_2^{(e)}] = \int_{S_3} r [N]^T [N] Bi_m dA;$$

$$[k_3^{(e)}] = \int_{V^{(e)}} [N]^T \left( u_r \left[ \frac{\partial N}{\partial r} \right] + u_z \left[ \frac{\partial N}{\partial z} \right] \right) r dV;$$

$$\{p^{(e)}\} = \{p_1^{(e)}\} - \{p_2^{(e)}\} + \{p_3^{(e)}\};$$

$$\begin{aligned}\{p_1^{(e)}\} &= \int_{V^{(e)}} r [N]^T Q \, dV; \\ \{p_2^{(e)}(T)\} &= \int_{S_3^{(e)}} r [N]^T K_{im} \, dA.\end{aligned}$$

Общая система уравнений формируется из систем линейных дифференциальных уравнений конечных элементов (22):

$$[M]\{\dot{C}\} + [K]\{C\} = \{P\}. \quad (23)$$

Систему (6) решаем, используя схему Кранка – Николсона [9]. Предполагаем, что

$$\{C_{\tau+\Delta\tau}\} - \{C_\tau\} = \frac{\Delta\tau}{2} (\{\dot{C}_{\tau+\Delta\tau}\} - \{\dot{C}_\tau\}), \quad (24)$$

где  $\Delta\tau$  – шаг интегрирования. Из (24) выражаем скорость изменения концентрации в момент времени  $\tau + \Delta\tau$  в виде следующего уравнения:

$$\{\dot{C}_{\tau+\Delta\tau}\} = \{\dot{C}_\tau\} + \frac{2}{\Delta\tau} (\{C_{\tau+\Delta\tau}\} - \{C_\tau\}). \quad (25)$$

Подставив выражение (25) в (23), получаем конечно-разностное уравнение для определения искомой зависимости

$$\left[ \frac{2}{\Delta\tau} M + K \right] \{\tilde{N}_{\tau+\Delta\tau}\} = [M] \left( \frac{2}{\Delta\tau} \{\tilde{N}_\tau\} - \{\hat{N}_\tau\} \right) + \{P_{cp}\}, \quad (26)$$

где  $\{P_{cp}\}$  – вектор-столбец правой части уравнения (26) в момент времени  $\tau + \Delta\tau/2$ . Алгоритм этой схемы состоит в последовательном решении уравнения (26).

В качестве функции элемента чаще всего применяется полином. Порядок полинома зависит от числа используемых данных непрерывной функции в каждом узле элемента. Для решения рассматриваемой задачи используется четырехузловой конечный элемент.

Для аппроксимации концентрации  $C(z, r)$  во всей области конечного элемента используем функции форм следующего вида:

$$C(p, s) = \sum_{i=1}^4 N_i(p, s) C_i = [N(p, s)]\{C^{(e)}\},$$

где  $N_i(p, s)$  – функции форм;

$$N_1(p, s) = \frac{1}{4}(1-p)(1-s);$$

$$N_2(p, s) = \frac{1}{4}(1+p)(1-s);$$

$$N_3(p, s) = \frac{1}{4}(1+p)(1+s);$$

$$N_4(p, s) = \frac{1}{4}(1-p)(1+s).$$

При этом производные функций форм по координатам определяются как

$$\begin{Bmatrix} \frac{\partial N}{\partial r} \\ \frac{\partial N}{\partial z} \end{Bmatrix} = [J]^{-1} \begin{Bmatrix} \frac{\partial N}{\partial p} \\ \frac{\partial N}{\partial s} \end{Bmatrix}, \quad (i=1, \dots, 4),$$

где  $[J]$  – матрица Якоби следующего вида:

$$[J] = \begin{bmatrix} \sum_{i=1}^4 \frac{\partial N_i}{\partial p} r_i & \sum_{i=1}^4 \frac{\partial N_i}{\partial p} z_i \\ \sum_{i=1}^4 \frac{\partial N_i}{\partial s} r_i & \sum_{i=1}^4 \frac{\partial N_i}{\partial s} z_i \end{bmatrix};$$

где  $r_i, z_i$  – глобальные координаты узлов конечных элементов. Элементарный объем  $dV$  вычисляется как

$$dV = \det[J] \, dp \, ds,$$

где  $\Delta(p, s)$  – толщина элемента;

$$\Delta(p, s) = [N(p, s)]\{\Delta\} \text{ и } \{\Delta\}^T = [\Delta_1 \Delta_2 \Delta_3 \Delta_4].$$

Элементарная площадь поверхности  $dA$  вычисляется различно для сторон КЭ:

для сторон 1 и 2

$$dA = \sqrt{(\partial r / \partial p)^2 + (\partial z / \partial p)^2} \, dp;$$

для сторон 3 и 4

$$dA = \sqrt{(\partial r / \partial q)^2 + (\partial z / \partial q)^2} \, dq.$$

Матрицу вида  $[m^{(e)}]$  назовем "матрицей массоемкости" (по аналогии с названием этой матрицы "матрица теплоемкости" при расчете процессов теплообмена [5]). Общая система уравнений формируется из систем линейных дифференциальных уравнений.

Разработана обобщенная математическая модель, выражающая результаты теоретического исследования поля потенциала массопереноса в объекте в виде конечно-элементной схемы. Реализация компьютерной модели на ПЭВМ обеспечивается на основе применения метода конечных элементов и может быть использована для исследования нестационарного процесса переноса массы. На рис. 1 и 2 приведены результаты моделирования в виде графиков изменения концентрации распределяемого вещества – влаги в фосфолипидной эмульсии по толщине и длине аппарата.

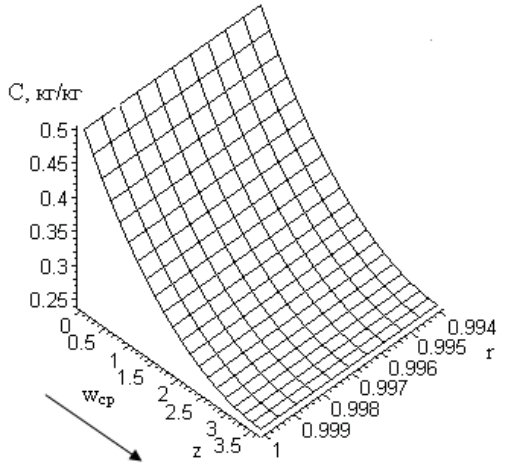


Рис. 1. Изменение концентрации распределяемого вещества по толщине пленки и длине аппарата:  $z, r$  – безразмерные пространственные координаты;  $w_{cp}$  – средняя скорость движения слоя, м/с

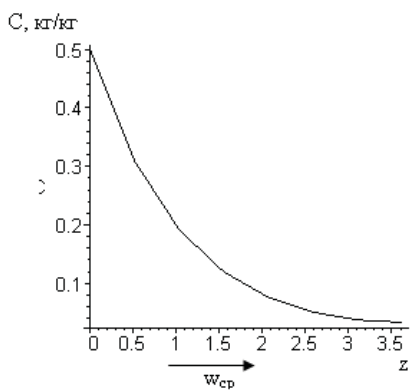


Рис. 2. Изменение влажности фосфолипидной эмульсии на поверхности массообмена по длине аппарата:  $z$  – безразмерная пространственная координата;  $w_{cp}$  – средняя скорость движения слоя, м/с

Использование математического пакета символьной математики Maple позволяет эффективно реализовать алгоритмы метода конечных элементов для решения задач тепло- и массопереноса. Конечно-элементный анализ нестационарного массообмена в вакуумном ротационно-пленочном аппарате при влагоудалении из фосфолипидных эмульсий позво-

ляет выполнять проектные процедуры автоматизированного проектирования конструкции аппаратов пищевых производств.

## ЛИТЕРАТУРА

1. Пат. № 99987 РФ на полезную модель МПК В01Д 1/22. Цилиндрический ротационно-пленочный аппарат [Текст] / Алтайулы С., Антипов С.Т., Шахов С.В.; заявитель и патентообладатель Воронеж. гос. технол. акад. – № 2010110753/05; заявл. 22.02.2010.; Опубл. 10.12.2010, Бюл. №34 – 4 с.
2. Кафаров, В. В. Основы массопередачи [Текст] / В. В. Кафаров. – М: Высш. школа, 1979. – 439 с.
3. Лыков, А. В. Теория тепло- и массопереноса [Текст] / А. В. Лыков, Ю. А. Михайлов. – М.: Госэнергоиздат, 1963. – 563 с.
4. Рудобашта, С. П. Массоперенос в системах с твердой фазой [Текст] / С. П. Рудобашта. – М.: Химия, 1980. – 248 с.
5. Аладьев, В. З. Maple 6. Решение математических, статистических и физико-технических задач [Текст] / В. З. Аладьев, М. А. Богчавичус. – М.: Лаборатория базовых знаний, 2001. – 824 с.
6. Зенкевич, О. Метод конечных элементов в технике [Текст] / О. Зенкевич. – М.: Мир, 1975. – 541 с.
7. Сигерлинд, Л. Применение метода конечных элементов [Текст] / Л. Сигерлинд. – М.: Мир, 1979. – 392 с.
8. Скульский, О.И. Механика аномально вязких жидкостей [Текст] / О. И. Скульский, С. Н. Аристов. – Москва-Ижевск: НИЦ “Регулярная и хаотическая динамика”, 2003. – 156 с.
9. Митчелл, Э. Метод конечных элементов для уравнений с частными производными [Текст] / Э. Митчелл, Р. Уэйт. – М.: Мир, 1981. – 216 с.